

# 连续相位调制信号的非相干序列检测

## 研究报告

## 目录

<b>1.问题背景</b> .....	<b>3</b>
<b>2.工作思路与内容</b> .....	<b>4</b>
2.1 脉冲成型 .....	4
2.2 Laurant分解.....	5
2.3 白化匹配滤波器(WMF).....	8
2.4 维特比算法(VA).....	10
<b>3.仿真结果与分析</b> .....	<b>11</b>
3.1 Fig. 2.仿真 .....	11
3.2 Fig. 3.仿真 .....	12
<b>4.参考文献</b> .....	<b>13</b>

## 1.问题背景

连续相位调制(Continuous phase modulation)是一种重要的数字通信调制方式.其数学形式可以表达为<sup>[1]</sup>:

$$s(t, \alpha) = \sqrt{\frac{2E_s}{T}} \exp\left(j2\pi h \sum_n a_n q(t - nT)\right) \quad (1)$$

上式中 $E_s$ 表示每个符号的能量, $T$ 表示符号传输周期, $h$ 为调制率,能够表达为有理分数的形式 $h = k/p$ ,其目的是为了了解码过程中的状态数有限<sup>[2]</sup>.  $a_n$ 表示传输的信息符号.对于 $M$ 元符号,  $\{a_n\}$ 在 $\{\pm 1, \pm 3 \dots \pm (M-1)\}$ 中取值. $q(t)$ 称为CPM调制的频率脉冲(frequency pulse).其导数 $g(t)$ 是在 $(0, L_g T)$ 区间上取值的信号.通常的 $q(t)$ 满足:

$$q(t) = \begin{cases} 0 & (t < 0) \\ \int_0^t g(\tau) d\tau & (0 < t < L_g T) \\ \frac{1}{2} & (t > L_g T) \end{cases} \quad (2)$$

在本实验中使用到了GMSK与2RC两种脉冲成型方式,其频率脉冲的导数 $g(t)$ 分别如下<sup>[2]</sup>:

$$\text{GMSK: } g(t) = \frac{1}{2T} \left\{ Q\left(\left[2\pi B \frac{t - \frac{T}{2}}{\sqrt{\ln 2}}\right]\right) - Q\left(\left[2\pi B \frac{t + \frac{T}{2}}{\sqrt{\ln 2}}\right]\right) \right\} \quad (3)$$

$$\text{2RC: } g(t) = \begin{cases} \frac{1}{4T} \left[ t - \cos\left(\frac{\pi t}{T}\right) \right] & (0 \leq t \leq 2T) \\ 0 & \text{else} \end{cases} \quad (4)$$

由(1)式可以看出,CPM信号的幅值始终恒定为 $\sqrt{2E_s/T}$ ,其信息由信号相位承载.由此衍生出基于锁相环(phase-locked loop)的相干检测方法.但是该方法存在有诸多的缺点,如错锁(false-locks),相位滑动(phase-slips)等等.

针对此缺点引入了非相干的序列检测方法,即本文所讲的非相干序列检测方法.该方法是基于对CPM信号进行洛朗分解(Laurent decomposition),将原信号等价转化为一组线性调制信号的线性组合,然后根据使用维特比算法(VA)对原信号进行译码操作,但该算法性能远不及相干检测方法<sup>[1]</sup>. 在此基础上,我们在进行VA译码之前先将接收到的信号通过白化匹配滤波器,然后再执行VA算法.经过实验验证发现通过增加观察序列的长度以及接收机的复杂度(包括WMF以及VA两个部分)可以将算法的性能不断往相干检测逼近<sup>[1]</sup>.下面将具体介绍仿真的细节.

## 2.工作思路与内容

本次仿真任务主要可以分成四个模块(1)脉冲成型(2)Laurent分解(3)白化匹配滤波(WMF)(4)维特比译码模块(VA)。实验框图如下：

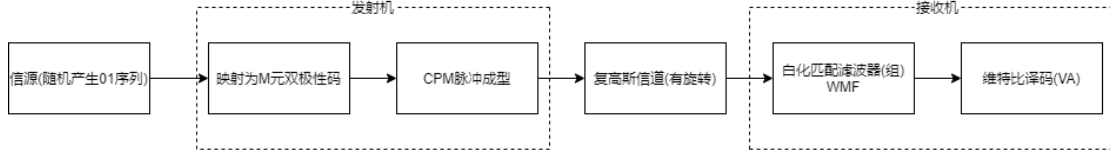


图 1 实验框图

在实际的实验当中，将信源部分和符号映射部分合二为一，即直接将M元双极性码作为传输的信息。因此经过维特比译码后得到的是系统的误符号率 $P_s$ 。根据误符号率和误比特率的近似关系 $P_b \approx P_s / \log_2 M$ 得到系统的误比特率。

在文章原文以及各篇参考文献中，信号的表达形式基本上均为连续形式，不容易实现计算机仿真。因此在实验过程中一个很重要的部分便是连续时间信号的离散化。即利用按照一定的过采样率sps采集得到离散信号来近似原文中的连续时间信号。为了实现采样重建精度和计算的复杂度的折衷，在本实验中过采样率 $sps = 10$ 。

下面将详细讲述上述各个模块的设计与实现思路。

### 2.1 CPM脉冲成型

由式(1)可知,CPM信号波形由参数 $T, E_s, h, q(t)$ 决定.在本次实验中,对两组不同的CPM信号进行仿真,两组实验的参数如下:

**实验 1: GMSK针对二元CPM调制.**

$h = 0.5, L_g = 2, BT = 0.25, T = 1$

**实验 2: 2RC针对四元CPM调制**

$h = 0.25, L_g = 2, T = 1$

在仿真过程中,由于不能直接针对连续信号进行仿真,因此需要经过过采样后的离散信号对连续信号波形进行近似.在实验 1,2 中过采样率 $sps = 10$ ,即对每个符号共采样 10 个点进行近似.下面将详细讲述仿真中实验 1、2 的脉冲成型过程.

#### 2.1.1 GMSK成型

由(1)式,GMSK信号中 $g(t)$ 可以改写为:

$$g(t) = 0.5 \int_{t_2}^{t_1} \exp\left(-\frac{\tau^2}{2}\right) d\tau = 0.5 \int_{-0.5}^{0.5} \frac{1}{\sqrt{2\pi}\delta} \exp\left(-\frac{(t-\tau)^2}{2\delta^2}\right) d\tau \quad (5)$$

$$\text{其中 } t_1 = 2\pi B(t + \frac{T}{2})/\sqrt{\ln 2}, \quad t_2 = 2\pi B(t - \frac{T}{2})/\sqrt{\ln 2}, \quad \delta = \frac{\sqrt{\ln 2}}{2\pi BT}$$

在仿真过程中为提高实验精度，使用SciPy中的 quad 函数计算 $g(t)$ 的值。由于 $g(t)$ 没有确定的解析表达式，因此为求得 $q(t)$ 只有采取用求和代替积分的方法进行，具体如下：

$$q[n] = \int_0^{\frac{nT}{sps}} g(\tau) d\tau = q[n-1] + \frac{1}{sps} g[n] \quad (6)$$

$$q[0] = 0 \quad (6)$$

由此即可得到频率脉冲序列。然后按照(1)式即可获得调制后的CPM信号 $s(t)$

### 2.1.2 2RC成型

由(2)和(4)式，可得 $q(t) = \frac{1}{4T}(t - \frac{T}{\pi} \sin(\frac{\pi t}{T}))$ ，之后直接按照过采样率 $sps = 10$ 即可得到频率脉冲序列 $q[n] = q(\frac{nT}{sps}) = \frac{1}{4}(\frac{n}{sps} - \sin(\frac{\pi n}{sps}))$  ( $0 \leq n \leq 2sps - 1$ )。由此即可得到频率脉冲序列。然后按照(1)式即可获得调制后的CPM信号 $s(t)$

## 2.2 Laurant分解

Laurant分解即是把CPM信号的形式从(1)转换为以下形式<sup>[1]</sup>:

$$s(t, \mathbf{a}) = \sum_{k=0}^{Q^{\log_2 M(M-1)}-1} \sum_n \alpha_{k,n} h_k(t - nT) \quad (7)$$

其中 $Q = 2^{L_g} - 1$ 。 $\alpha_{k,n}$ 称为伪符号(pseudo symbol)，由信息符号序列 $\{a_n\}$ 以及调制参数决定。 $h_k$ 为线性调制序列，由频率脉冲 $q(t)$ 以及调制参数决定。可以在数学上严格证明(7)与(1)等价。

在实际工程中，通常不会取 $Q^{\log_2 M(M-1)} - 1$ 个 $h_k$ 来无误的表示原信号，而是取前 $K = M - 1$ 个信号来表示。这样的截断能够有效的降低计算的复杂度同时保证误差足够的小<sup>[1]</sup>，称前 $M - 1$ 个信号为主脉冲(principal pulse)。

下面将简要讲述如何得到(7)中的 $\alpha_{k,n}$ 以及 $h_k$ ，详细过程参见参考文献[4]

针对二元信号首先需要求得

$$u(t) = \begin{cases} \frac{\sin(2h\pi q(t))}{\sin(h\pi)} & 0 \leq t \leq LT \\ u(2LT - t) & LT \leq t \leq 2LT \\ 0 & \text{else} \end{cases} \quad (8)$$

之后获得二进制表示序列 $\beta_{k,i}$ ： $k = \sum_{i=1}^{L-1} 2^{i-1} \beta_{k,i}$ ，由此得到线性调制信号

$$h_k(t) = \prod_{i=0}^{L-1} u(t + iT + \beta_{k,i}LT) \quad 0 \leq k \leq Q - 1 \quad (9)$$

其中 $h_k$ 的持续时间由 $D_k = \min_i \{L(2 - \beta_{k,i}) - i\}$ ， $0 \leq i \leq L - 1$ 确定。

伪符号序列：

$$\alpha_{k,n} = \exp \left\{ jh\pi \left[ \sum_{m=-\infty}^n a_m - \sum_{i=0}^{L-1} a_{n-i} \beta_{k,i} \right] \right\} \quad (10)$$

综上即可得到原来CPM信号的Laurant分解。

对于多元调制(即本实验的2RC调制)，其线性调制脉冲的计算过程相比二元调制要更为复杂。具体的计算流程详见参考文献[4]。下面将介绍在不同调制方式以及不同 $K$ 取值的条件下Laurant分解的细节。

### 2.2.1 GMSK $K = 1$

在 $K = 1$ 的条件下， $\beta_{0,i} \equiv 0$ 。因此线性调制信号可以化简为：

$$h_0(t) = \prod_{i=0}^{L-1} u(t + iT) \quad 0 \leq k \leq Q - 1 \quad (11)$$

伪符号表达式可以化简为：

$$\alpha_n = \exp \left\{ j0.5\pi \left[ \sum_{m=-\infty}^n a_m \right] \right\} \quad (12)$$

由此可以得到伪符号的递推关系式<sup>[5]</sup>：

$$\alpha_n = ja_n \alpha_{n-1}, \quad \begin{cases} \alpha_{2n} \in \{\pm 1\} \\ \alpha_{2n+1} \in \{\pm j\} \end{cases} \quad (13)$$

### 2.2.2 GMSK $K = 2$

在该条件下，两个线性调制信号序列如下( $\text{sps} = 10$ )：

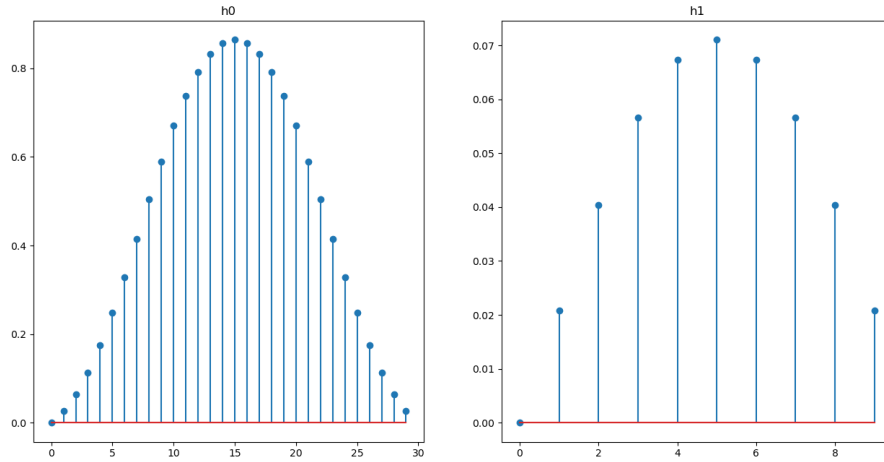


图 2  $h_0(t)$ 与 $h_1(t)$ 对比图

由上图可知，Laurant分解的主要能量都集中于主脉冲 $h_0(t)$ 中。且 $h_0(t)$ 的持续时间为 $3T$ ， $h_1(t)$ 的持续时间为 $T$

在 $K = 2$ 的条件下，伪符号序列为一个长度为 $\text{sig\_len}$ 的二维向量组。根据原文定义： $\alpha_n = (\alpha_{0,n}, \alpha_{1,n})^T$ 其递推关系变为<sup>[5]</sup>

$$\alpha_{0,n} = ja_n \alpha_{0,n-1}, \quad \begin{cases} \alpha_{0,2n} \in \{\pm 1\} \\ \alpha_{0,2n+1} \in \{\pm j\} \end{cases} \quad (14)$$

$$\alpha_{1,n} = ja_n \alpha_{0,n-2}, \quad \begin{cases} \alpha_{0,2n} \in \{\pm j\} \\ \alpha_{0,2n+1} \in \{\pm 1\} \end{cases} \quad (15)$$

### 2.2.3 2RC K = 3

在该条件下主脉冲的计算过程为<sup>[4]</sup>

$$h_0(t) = c_0^{(0)}(t)c_0^{(1)}(t) \quad h_1(t) = c_0^{(0)}(t+T)c_0^{(1)}(t) \quad h_2(t) = c_0^{(0)}(t)c_0^{(1)}(t+T)$$

$$\alpha_{0,n} = b_{0,n}^0 b_{0,n}^1 \quad \alpha_{1,n} = b_{0,n}^0 b_{0,n}^1 \quad \alpha_{2,n} = b_{0,n}^0 b_{0,n}^1$$

其中 $c_0^{(0)}(t)$ ,  $c_0^{(1)}(t)$ 的计算与二元情况中 $h_0(t)$ 类似,  $b_n^0, b_n^1$ 的计算与二元情况中的 $\alpha_n$ 类似。

$$c_0^{(l)}(t) = \prod_{i=0}^{L-1} u^{(l)}(t+iT) \quad l = 0, 1 \quad (16)$$

$$b_{0,n}^{(l)} = \exp \left\{ jh^l \pi \left[ \sum_{m=-\infty}^n \gamma_{m,l} \right] \right\} \quad l = 0, 1 \quad (17)$$

在该条件下共有三个主脉冲principal pulse, 其时域图如下所示:

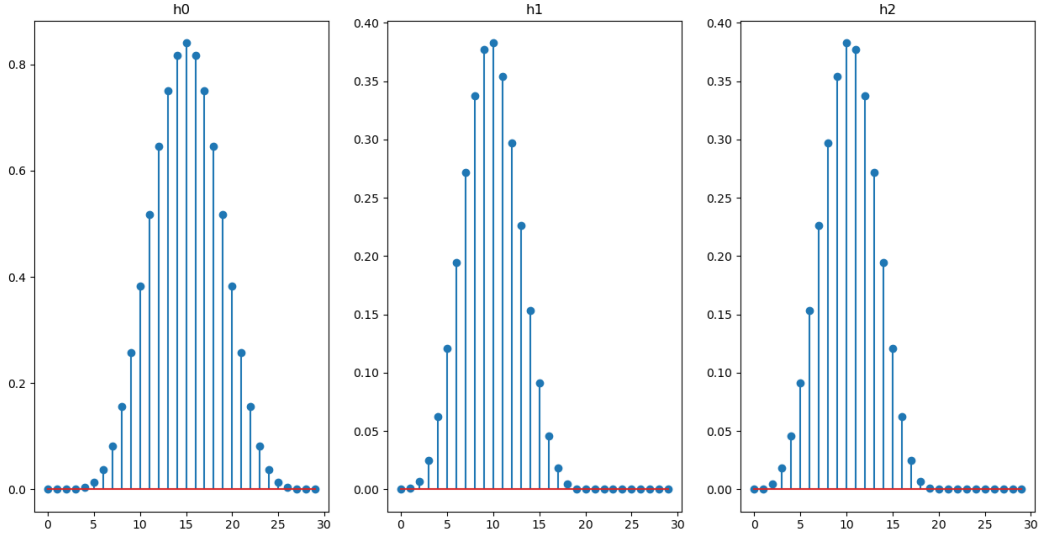


图 3  $h_0(t)$ 与 $h_1(t)$ ,  $h_2(t)$ 对比图

由上图可知,  $h_0(t)$ 与 $h_1(t)$ ,  $h_2(t)$ 为principal pulse, 其持续时间分别为 $3T, 2T, 2T$ 。同时从上图可以看出,  $h_1(t)$ 与 $h_2(t)$ 的波形十分接近, 因此在后续处理中可以将两者求平均进行计算。

### 2.2.4 2RC K = 5

在 2.2.3 的基础上增加了两个次要脉冲 $h_3(t), h_4(t)$ 以及伪符号  $\alpha_{3,n} \alpha_{4,n}$ , 其计算公式如下:

$$h_3(t) = c_0^{(0)}(t+2T)c_0^{(1)}(t) \quad h_4(t) = c_0^{(0)}(t)c_0^{(1)}(t+2T)$$

$$\alpha_{3,n} = b_{0,n-2}^0 b_{0,n}^1 \quad \alpha_{4,n} = b_{0,n}^0 b_{0,n-2}^1$$

在该条件下五个线性调制信号时域图如下：

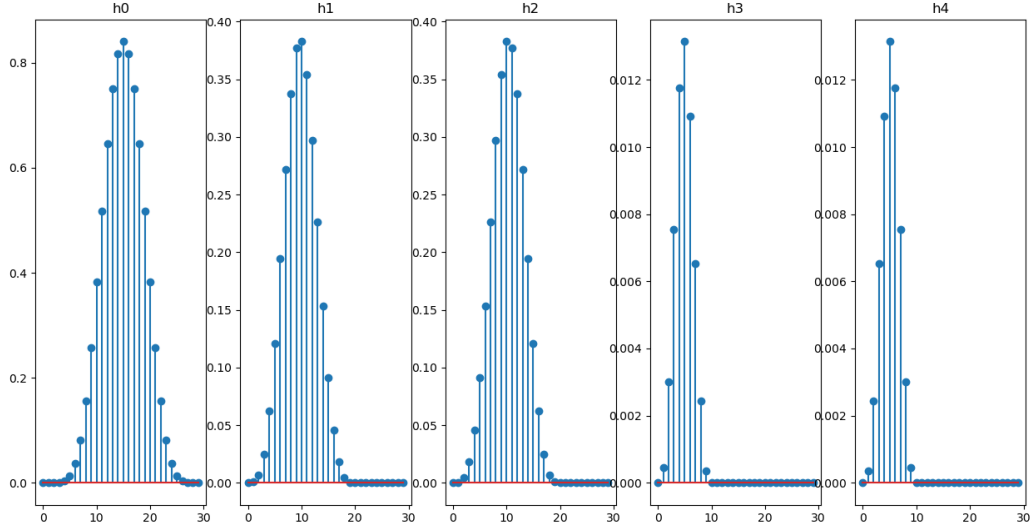


图 4 线性调制脉冲对比图

由上图可以进一步得到在四元2RC调制中线性调制信号的能量主要集中在 $h_0(t)$ 与 $h_1(t)$ ,  $h_2(t)$ 中。类似的由，上图可以看出在时域上 $h_3(t)$ ,  $h_4(t)$ 十分相似，因此可以进行类似 $h_1(t)$ ,  $h_2(t)$ 求平均的操作以简化接收机的复杂度。

### 2.3 白化匹配滤波器(WMF)

由原文献可知，信号 $s(t)$ 经过信道后到达接收端的信号 $r(t)$ 可以表示为：

$$r(t) = s(t, \alpha)e^{j\theta} + w(t) \quad (18)$$

其中 $\theta \sim U(0, 2\pi)$ ,  $w(t)$ 为功率谱密度为 $n_0$ 的高斯白噪声。在具体实现的过程中,  $w(t)$ 为长度与 $s(t, \alpha)$ 相等高斯分布序列，其方差为噪声的功率。因此 $\sigma^2 = n_0 W$ 。根据Nyquist定理，数字通信的带宽应该满足 $\frac{R_s}{2} \leq W \leq R_s$ 。因此在本实验中取带宽 $W = R_s = \text{sps}$ ，因此 $\sigma^2 = n_0 \text{sps}$ 。

WMF由两部分组成，匹配滤波器以及白化滤波器。其结构如下：

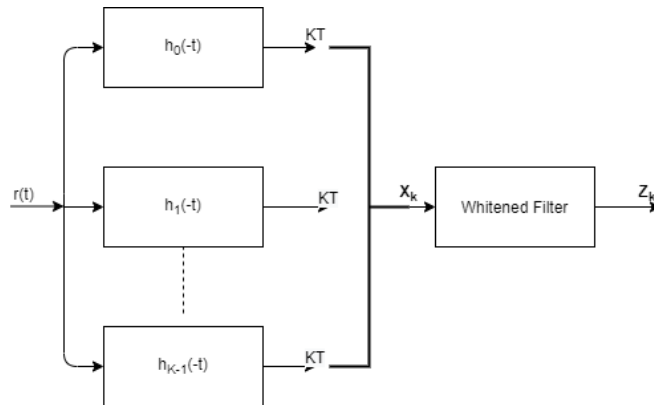


图 5 WMF结构图

将Laurant分解得到的脉冲分量 $h_k(t)$ 反转即可得到匹配滤波器 $h_k(-t)$ 。在具体实现中，通过numpy中的convolve函数实现匹配滤波。需要注意的是，在匹配滤波之后还需



要进行采样。令 $\mathbf{x}_t$ 为匹配滤波后得到的序列。则送入到白化滤波模块的 $\mathbf{x}$ 满足 $\mathbf{x}[n] = \mathbf{x}_t[n \cdot \text{sps} + \text{sps} - 1]$

白化滤波器WF是 $K \times K$ 滤波器组，令其传递函数 $H(z)$ 。为实现白化功能，先考虑线性调制脉冲 $\{h_k(t)\}$ 自相关的 $z$ 变换 $G(z)$ 。 $G(z)$ 具有对称性，即 $G(z^{-1}) = G^T(z)$ 。经过匹配滤波后，噪声的功率谱密度变为 $\Phi_n(z) = 2N_0 G^T(z)$ 。考虑对 $G^T(z)$ 进行离散谱分解，即找到 $F(z)$ 使得 $G^T(z) = F(z^{-1})F^T(z)$ 。具体的谱分解过程详见参考文献[6]。其核心思想在于递归的消去 $G^T(z)$ 特征多项式零点，最终将 $G^T(z)$ 转化为一个仅包含常数的对称矩阵。因此白化滤波器的传函即可表示为 $F^{-1}(z^{-1})$ 。需要注意的是，为保证系统的稳定性，需要保证 $\det(F(z^{-1}))$ 的根包含在单位圆内<sup>[1]</sup>。

在本次实验中，自相关计算中所用到的积分用求和来近似。下面将展示四次仿真中的 $G^T(z)$ 以及分解得到的 $F(z)$ 。

### (1)GMSK $K = 1$

在该条件下能够严格求解白化滤波器。 $G^T(z)$ 为一维，可以表示为 $G(z) = \sum_{i=-2}^2 g_i z^{-i}$ ， $g_i$ 为 $h_0$ 的自相关。因此可以先求出 $G(z)$ 的零点 $z_i (i = 1:4)$ 。然后取在单位圆内的两个零点 $z_0, z_1$ ，计算卷积 $a = \text{conv}([1, -z_0], [1, -z_1])$ ，系数 $k = \text{sum}(g_i) / ((1 - z_0)(1 - z_1))^2$ 。则白化滤波器的传递函数分母即为 $\sqrt{k}a$ ，分子为1。

### (2)GMSK $K = 2$

在 $G^T(z)$ 大于一维的情况下不能严格求解白化滤波器，只有采用数值方法[7]求解，从而一定的误差。在本次实验中使用SymPy进行相关的符号计算。该条件下 $G^T(z)$ 与分解得到的 $F(z)$ 如下：

$$G^T(z): \begin{bmatrix} 0.0356z^2 + 0.4483z + 0.882 + 0.4483z^{-1} + 0.0356z^{-2} & 0.01173 + 0.03656z^{-1} + 0.01173z^{-2} \\ 0.01173 + 0.03656z + 0.01173z^2 & 0.002465 \end{bmatrix}$$

$$F(z) = \begin{bmatrix} 0.08024 + 0.6558z^{-1} + 0.4442z^{-2} & 0.2305 + 0.45977z^{-1} \\ 0.0263 & 0.0421 \end{bmatrix}$$

### (3)2RC $K = 2$

该条件下 $G^T(z)$ 与分解得到的 $F(z)$ 如下：

$$G^T(z) = \begin{bmatrix} 0.0825z + 0.503 + 0.0825z^{-1} & 0.1195z + 0.1195 + 0.0007z^{-1} \\ 0.0007z + 0.1195 + 0.1195z^{-1} & 0.0045 + 0.0829 + 0.0045z^{-1} \end{bmatrix}$$

$$F(z) = \begin{bmatrix} 0.11897 + 0.69347z^{-1} & -0.09355 \\ 0.17232 + 0.12821z^{-1} & -0.11299 + 0.15584z^{-1} \end{bmatrix}$$

### (4)2RC $K = 3$

该条件下 $G^T(z)$ 与分解得到的 $F(z)$ 如下：

$$G^T(z): \begin{bmatrix} 0.0852z + 0.503 + 0.0852z^{-1} & 0.1195z + 0.1195 + 0.0007z^{-1} & 1.73e-4 + 0.00406z \\ 0.0007z + 0.1195 + 0.1195z^{-1} & 0.0045 + 0.0829 + 0.0045z^{-1} & 6.9e-4 + 6.9e-4z \\ 1.73e-4 + 0.00406z^{-1} & 6.9e-4 + 6.9e-4z^{-1} & 5.44e-5 \end{bmatrix}$$



在本次实验中，状态的编码采用进制编码的方式。以 $S = 4, M = 2$ 为例，令编码bit0代表 $a_n = -1$ ，编码bit1代表 $a_n = 1$ 。则状态 $\{-1, -1\}$ 用 $S = 0$ 表示，状态 $\{-1, 1\}$ 用 $S = 1$ 表示，状态 $\{1, -1\}$ 用 $S = 2$ 表示，状态 $\{1, 1\}$ 用 $S = 3$ 表示。使用进制编码能够很方便的通过移位、取余等运算实现状态间的转移。

### 3. 仿真结果与分析

#### 3.1 Fig2 仿真结果

根据上述实验实际，针对GMSK调制， $h = 0.5$ ， $BT = 0.25$ ，调制深度 $L = 2$ 的情况下误比特率随着信噪比 $E_b/n_0$ 的变化关系如下：

##### 3.1.1 $K = 1$ 条件下

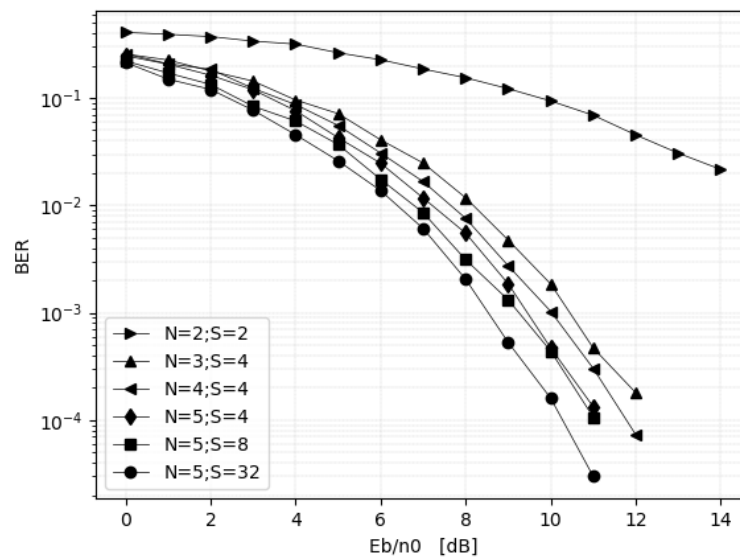


图 7 Fig2( $K = 1$ )仿真结果

##### 3.1.2 $K = 2$ 条件下

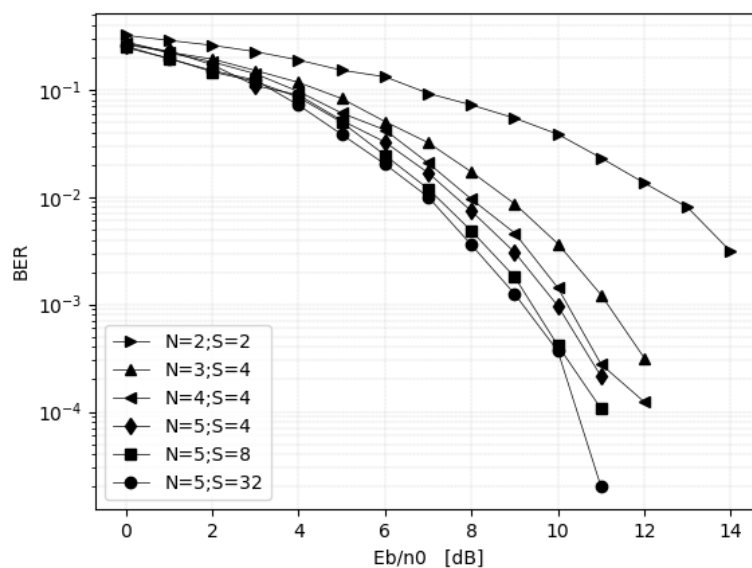


图 8 Fig2( $K = 2$ )仿真结果

由上图可知，随着信噪比的增大，系统的误比特率降低。在信噪比相同的情况下，误比特率随着 $N$ 和 $S$ 的增大而减小。

对比 $K = 1$ 与 $K = 2$ 的结果，发现两条曲线除了在 $N = 2, S = 2$ 条件下差异较大外其余情况基本相同。其原因在于由图 2 可知线性调制信号的主要能量集中在 $h_0(t)$ 中，因此差别不大。而在 $N = 2, S = 2$ 条件下，维特比网格图过于简单，因此译码效果并不好，增大 $K$ 的值能够给出更多信息，较为显著影响译码效果，因此图 8 中译码效果优于图 7 中的效果，但均比不上原图中 $N = 2, S = 2$ 的情况。其余部分中在某些条件下 $K = 1$ 的情况优于 $K = 2$ 的情况，其原因在于 $K = 1$ 条件下白化滤波器是严格求解得到的，而 $K = 2$ 条件下是通过数值方法求得的，因此存在有误差。

和原图相比，除去 $N = 2, S = 2$ ，其余情况下仿真结果要得到相同误比特率需要信噪比增加 0.5dB，基本满足要求。误差的来源为sps有限以及白化滤波器计算的精度等。

### 3.2 Fig3 仿真结果(此处 $K$ 指 WF 阶数)

#### 3.1.1 $K = 2$ 条件下

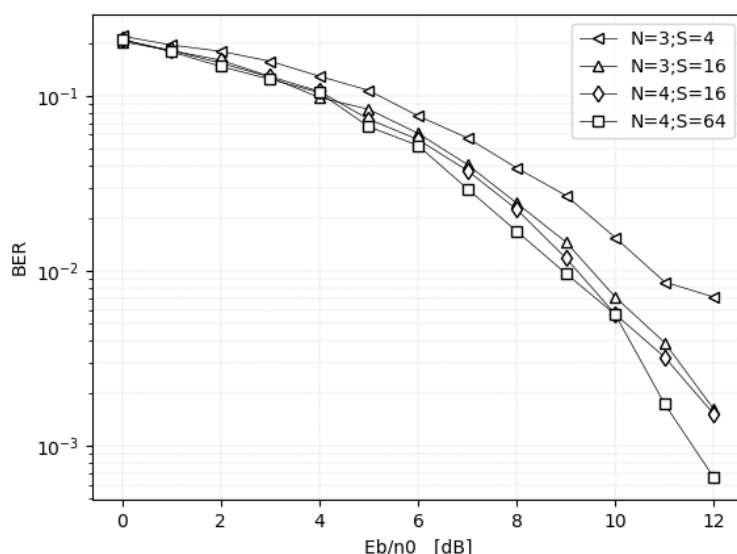


图 9 Fig3( $K = 2$ )仿真图

#### 3.1.2 $K = 3$ 条件下

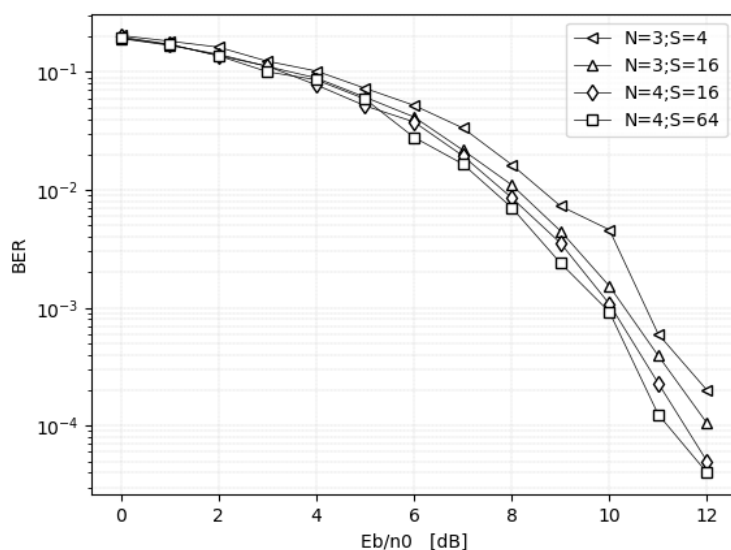


图 10 Fig3( $K = 3$ )仿真图

由上图可知,同样的,随着信噪比的增大,系统的误比特率降低。在信噪比相同的情况下,误比特率随着 $N$ 和 $S$ 的增大而减小。

对比 $K = 2$ ,  $K = 3$ 的情况,发现 $K = 3$ 的情况远好于 $K = 2$ 的情况,其原因在于在计算 $K = 2$ 情况下白化滤波器系数的过程中计算过程存在有舍入的误差。多步计算累积之后导致系数误差较大,从而经过白化滤波器后噪声并不是白的。理论上图 9 与图 10 的区别应当不大,之后可以进一步精确计算 $K = 2$ 时的白化滤波器来进行验证。

对比图 10 和原图中 Fig 3, 二者基本相同,达到了预期的目标。

## • 参考文献

- [1] G. Colavolpe and R. Raheli, "Noncoherent sequence detection of continuous phase modulations," in *IEEE Transactions on Communications*, vol. 47, no. 9, pp. 1303-1307, Sept. 1999, doi: 10.1109/26.789664.
- [2] J. B. Anderson, T. Aulin, and C.-E. Sundberg, *Digital Phase Modulation*. New York: Plenum, 1986.
- [3] 《通信与网络》课程课件, 数字基带调制(3)
- [4] U. Mengali and M. Morelli, "Decomposition of M-ary CPM signals into PAM waveforms," in *IEEE Transactions on Information Theory*, vol. 41, no. 5, pp. 1265-1275, Sept. 1995, doi: 10.1109/18.412675..
- [5] G. Colavolpe and R. Raheli, "Reduced-complexity detection and phase synchronization of CPM signals," in *IEEE Transactions on Communications*, vol. 45, no. 9, pp. 1070-1079, Sept. 1997, doi: 10.1109/26.623071.
- [6] P. R. Mothyka and J. A. Cadzow, "The factorization of discrete process spectral matrices," *IEEE Trans. Automat. Contr.*, vol. AC-12, pp. 698-707, Dec. 196
- [7] M. V. Eyuboglu and S. U. H. Qureshi, "Reduced-state sequence estimation with set partitioning and decision feedback," in *IEEE Transactions on Communications*, vol. 36, no. 1, pp. 13-20, Jan. 1988, doi: 10.1109/26.2724.